

口々変換

$$T^2 \times D^2 \subset X^4$$

$$[X^4 - (T^2 \times D^2)] \cup_{\varphi} T^2 \times D^2$$

3次元トポロジー

$$\cong T^3$$

$\varphi: T^2 \times \partial D^2 \rightarrow T^2 \times \partial D^2$

$$\varphi(\partial D^2) = p[\partial D^2] + q[\alpha], \quad \alpha \in T^2$$

S.C.C.

\downarrow

$$a[\alpha] + b[\alpha]_{(a, b)} = 1$$

//

{ 法を区別し φ を区別 (up to diffeo) }

$$T^2 \times D^2 = h^0 \cup h^1 \cup h^1 \cup h^2$$

3, 4-handle のつなぎ合わせ

法を区別

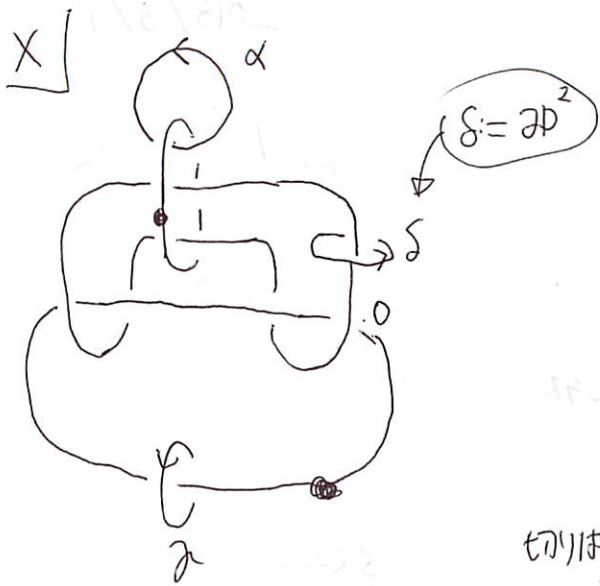
$$[X^4 - (T^2 \times D^2)] \cup_{\varphi} T^2 \times D^2 =: X(T^2, p, q, \alpha)$$

~~例~~ $X(T^2, p, 1, \alpha)$

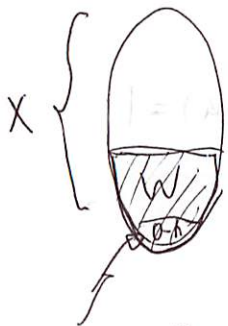
$$\varphi = \begin{pmatrix} 1 & 0 & 0 \\ 0 & 0 & 1 \\ 0 & -1 & p \end{pmatrix}$$

$\varphi(\alpha) = \alpha$ $\varphi(\alpha)$ $\varphi(\partial D^2)$

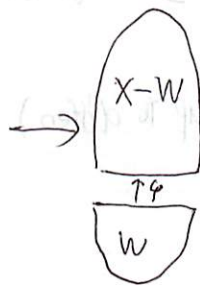
$$\varphi^{-1} = \begin{pmatrix} 1 & 0 & 0 \\ 0 & p & -1 \\ 0 & 1 & 0 \end{pmatrix}$$



切りは付かず
 $X-W$ の境界だけ見たい
 ということ

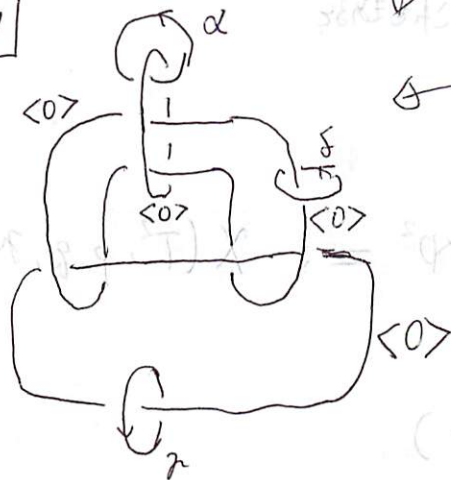


切りは付かず



0-h があるの
 W を下に作る

$X-W$



3次元- msd とみれば
 3次元の diffeo を動かして
 dot をつける

W を用いて
 φ^{-1} で $X-W$ を
 <0> につけると思えばいい。

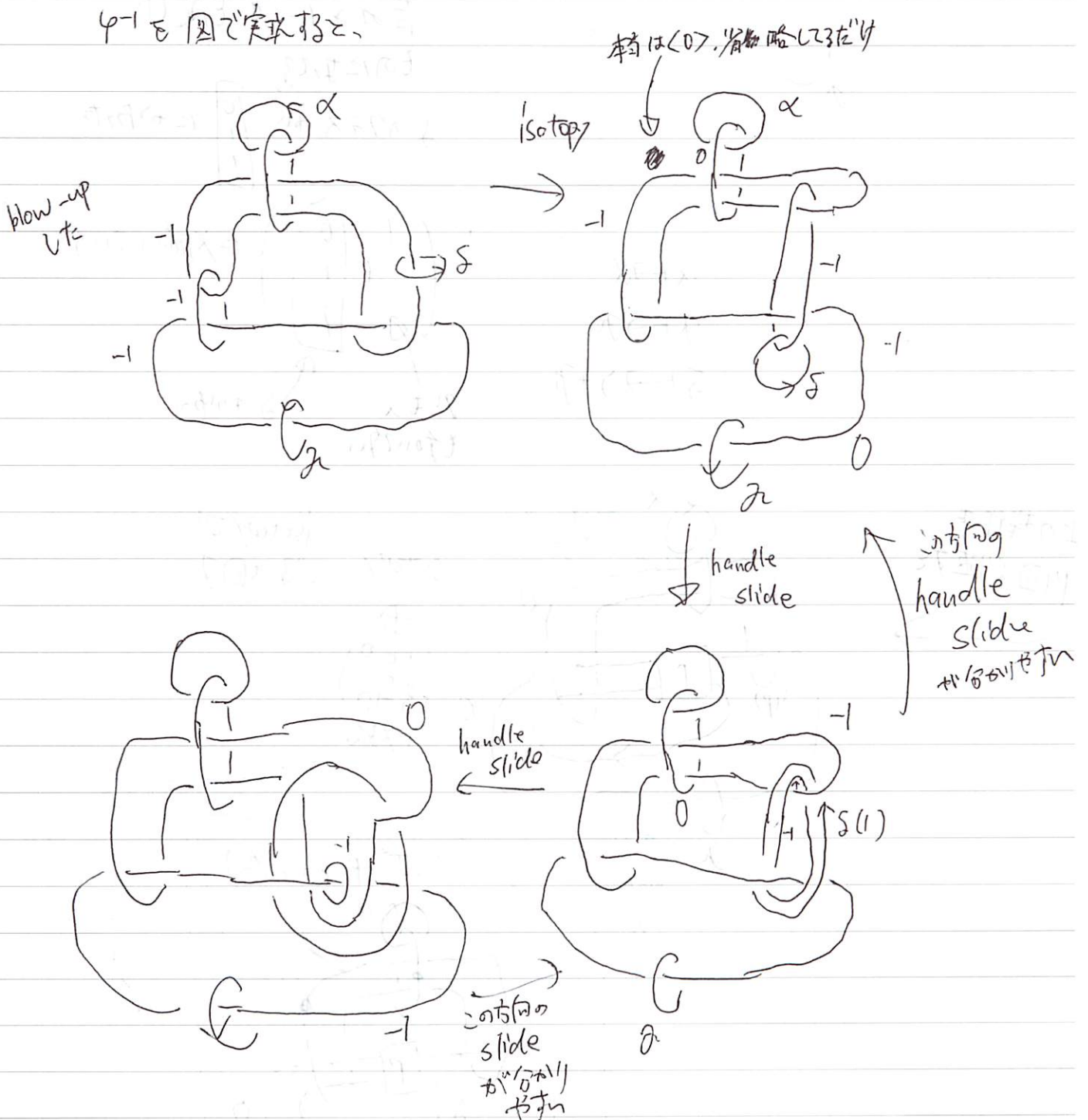
$$\begin{pmatrix} 0 & 0 & 1 \\ 1 & 0 & 0 \\ 0 & 1 & 0 \end{pmatrix} = \gamma$$

$$\begin{pmatrix} 0 & 0 & 1 \\ 1 & 0 & 0 \\ 0 & 1 & 0 \end{pmatrix} = \gamma$$

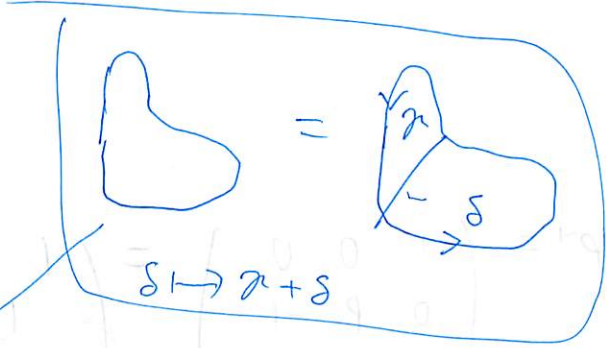
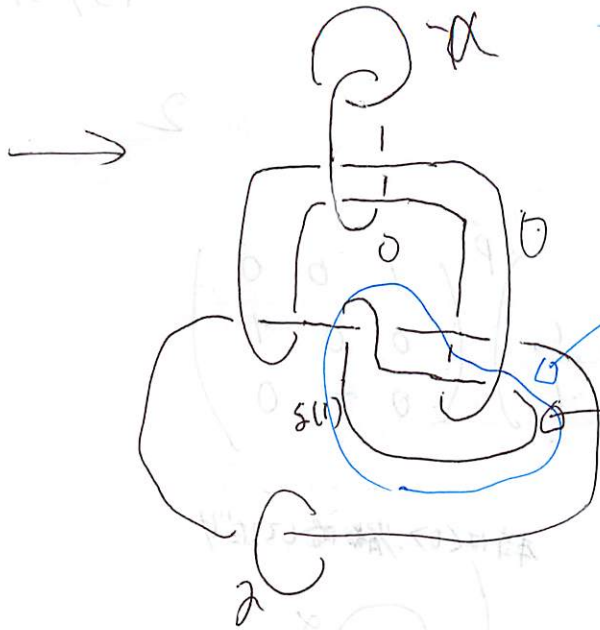
Torus を "おれは"
 \log 変換で "する!!"

$$\varphi^{-1} = \begin{pmatrix} 1 & 0 & 0 \\ 0 & P & -1 \\ 0 & 1 & 0 \end{pmatrix} = \begin{pmatrix} 1 & & \\ & 1 & 1 \\ & & 1 \end{pmatrix}^P \begin{pmatrix} 1 & 0 & 0 \\ 0 & 0 & -1 \\ 0 & 1 & 0 \end{pmatrix}$$

φ^{-1} を図で実球だと、



11/21/05

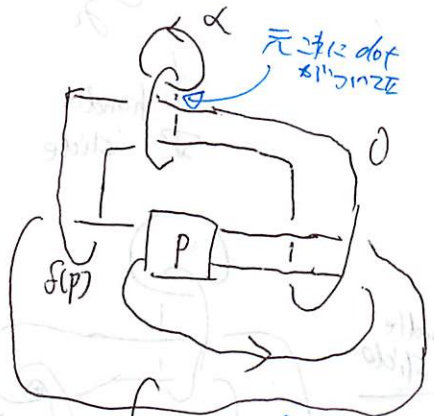


δ の像は
 昔の δ に α を足した
 ものになる。
 δ のマス +1 $\begin{pmatrix} 0 \\ 1 \\ 1 \end{pmatrix}$ にかかった

$\alpha \mapsto \alpha$
 $\alpha \mapsto \alpha$
 $\delta \mapsto \delta + \alpha$

$\therefore \begin{pmatrix} 1 & 0 \\ 1 & 1 \\ \alpha & 1 \end{pmatrix}$ に行列作用
 α を α と δ はかかった
 ものになる

上の操作を
 P 回くり返すと

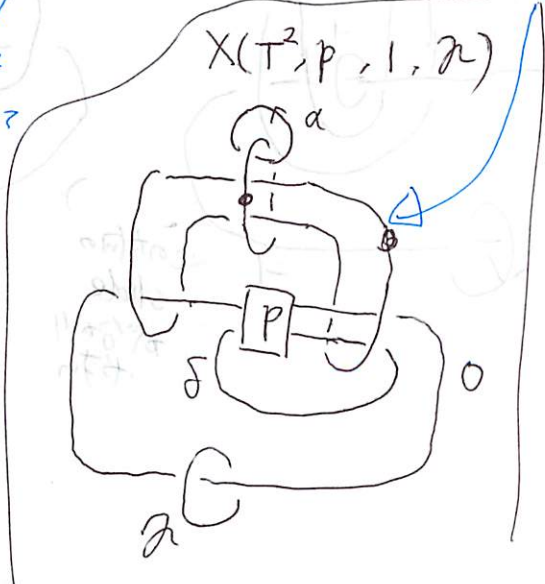


isotopy \mathbb{Z}^1
 \mathbb{Z}^1 の作用

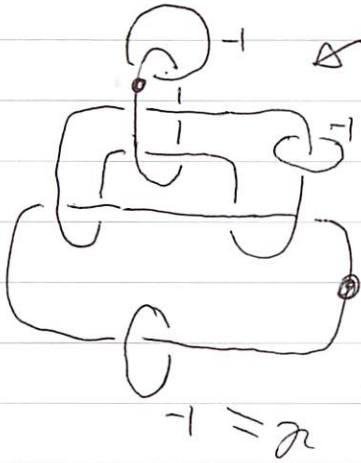
$\begin{pmatrix} 1 & 0 & 0 \\ 0 & 1 & 1 \\ \delta & -1 & 0 \end{pmatrix}$
 \mathbb{Z}^1 の作用

δ と α を λ と α の \mathbb{Z}^1
 の作用に dot をかける

元々に
 dot
 かける
 \mathbb{Z}^1

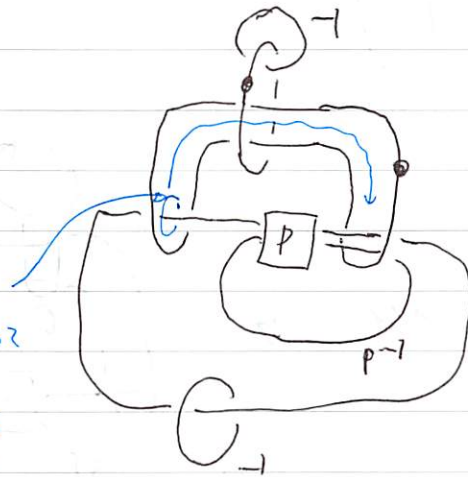


~~Case 3.1.1~~
Nuclei



$N(p) = N(T^2, p, 1, \alpha) \simeq N$

diffeo



これは
0' である
を
slide
して
ほくと N と diffeo

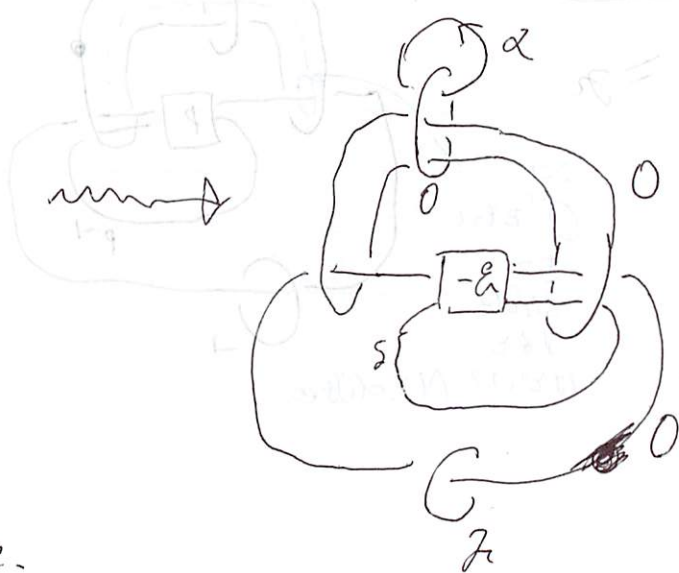
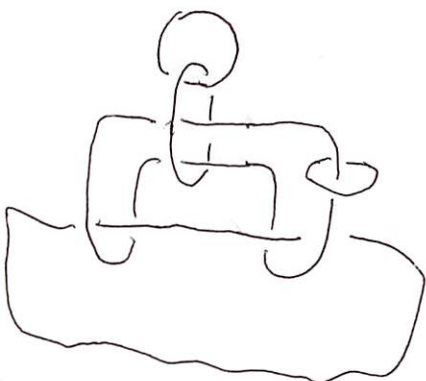
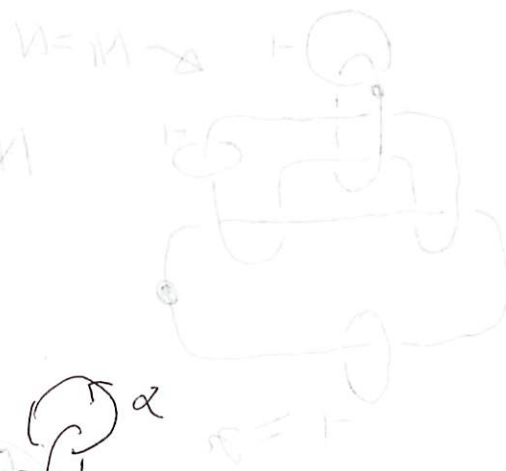
12/18/22

$$\varphi_{1/\alpha} := \begin{pmatrix} 1 & 0 & 0 \\ 0 & 1 & \alpha \\ 0 & 0 & 1 \end{pmatrix}$$

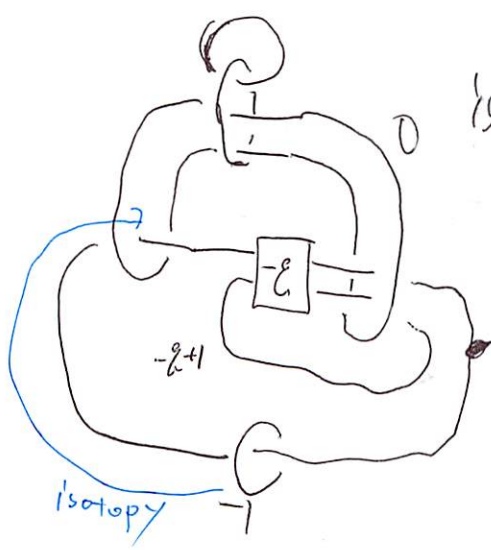
$$X(T, 1, \alpha, \beta)$$

$$\varphi_{1/\alpha}^{-1} = \begin{pmatrix} 1 & -\alpha & 0 \\ 0 & 1 & 0 \\ 0 & 0 & 1 \end{pmatrix}$$

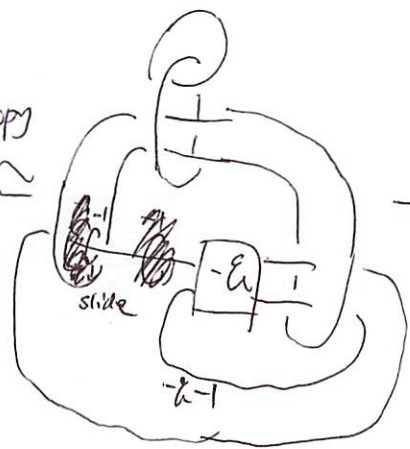
核子
Nuclei



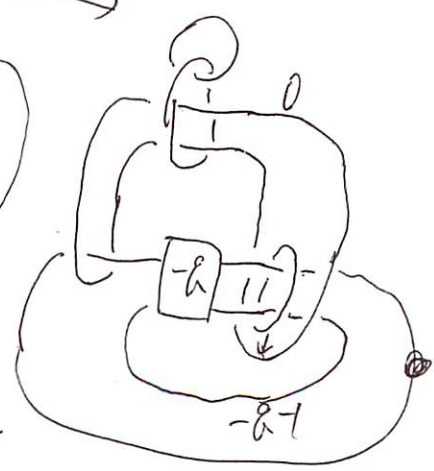
Nucleiは $\varphi_{1/\alpha}$ でたづね.



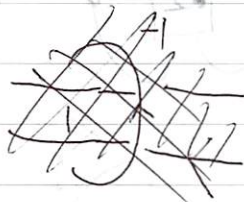
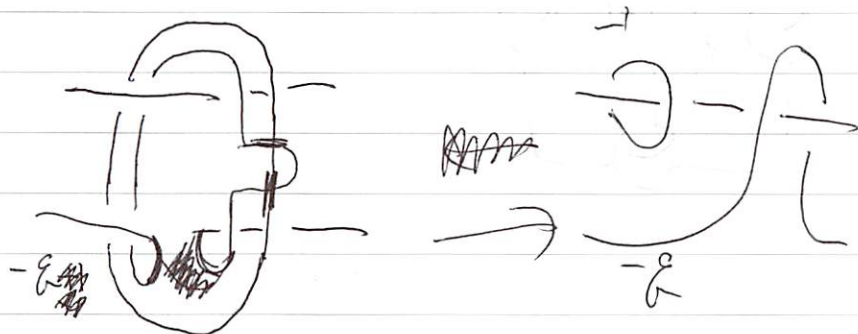
isotopy \approx



slide

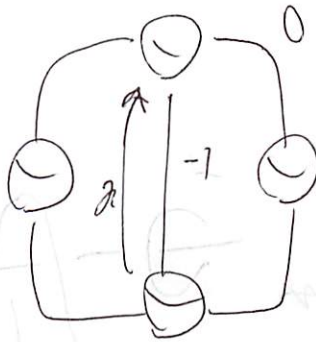
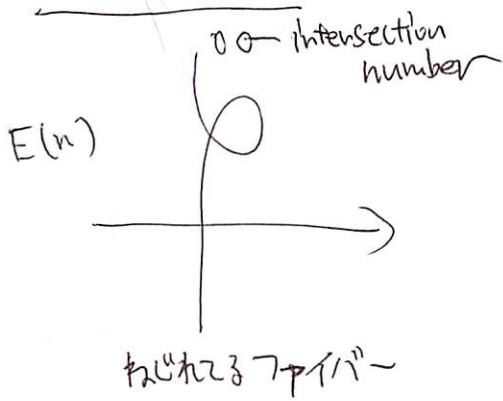


slide



$$\begin{aligned} \therefore X(T^2, 1, \ell, \mathcal{R}) &\stackrel{\text{lifted}}{\simeq} X(T^2, 1, \ell+1, \mathcal{R}) \\ &= T(T^2, 1, 0, \mathcal{R}) = X \end{aligned}$$

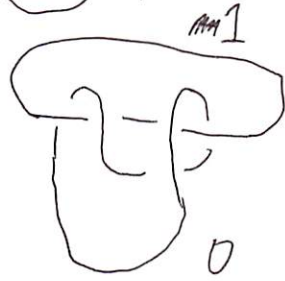
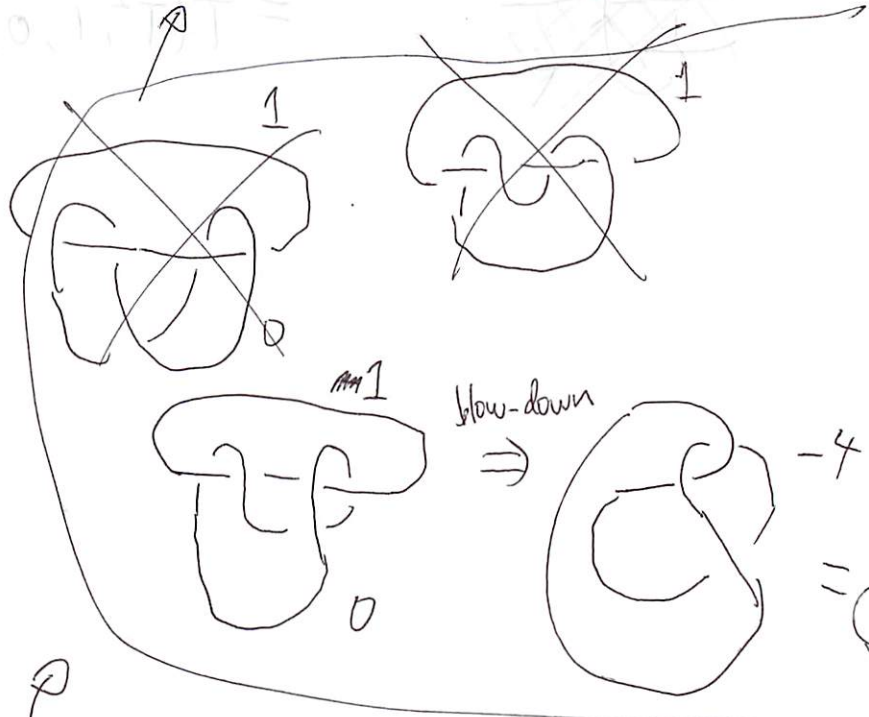
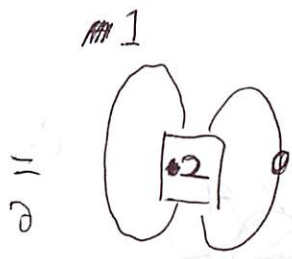
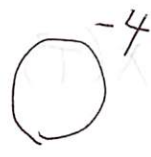
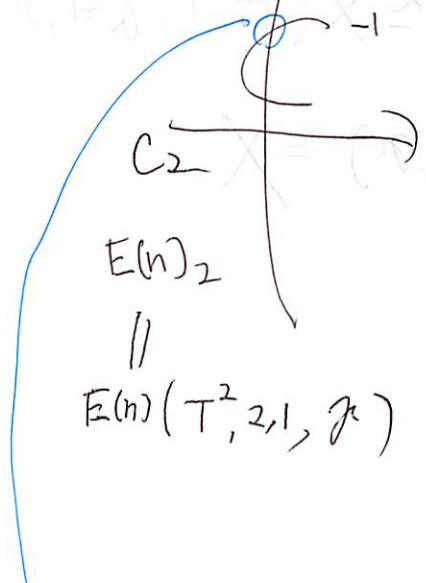
R.b Rational blow-down



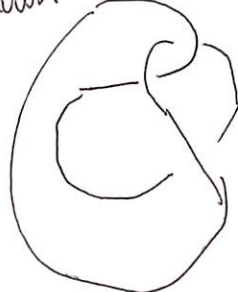
通常2重点
心高対称
fiber 存在



blow-down



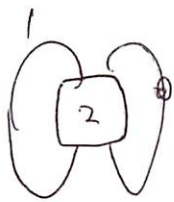
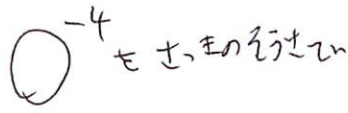
blow-down



-4

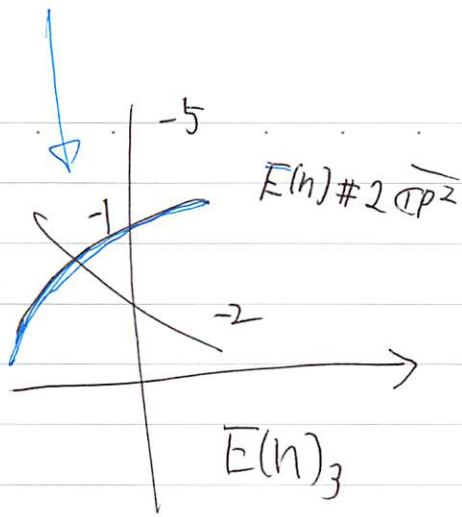


5 1 2 3 4
blow down 3 3 2

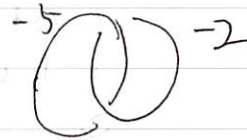


1 = 1 1 1 3

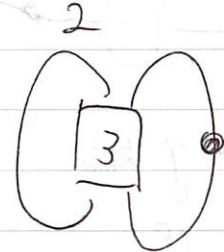




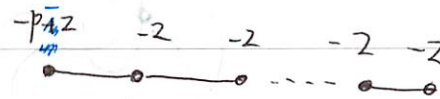
||



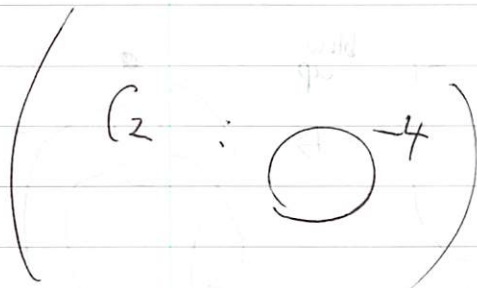
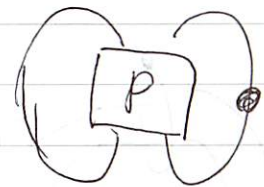
=



closed
~~E(h)~~

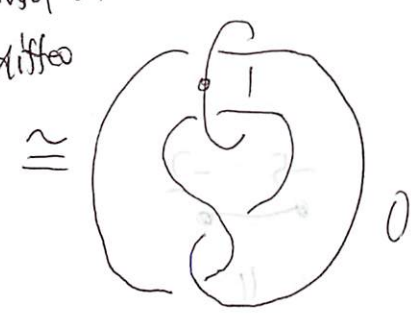
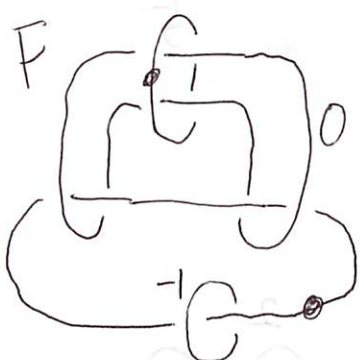


C_p adjoint $p-2$ ||



1/2/18/02

4-fold of
diffeo



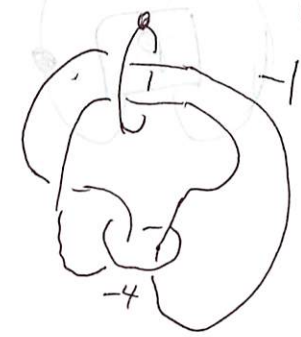
\cong



blow up
b. up.



isotopy



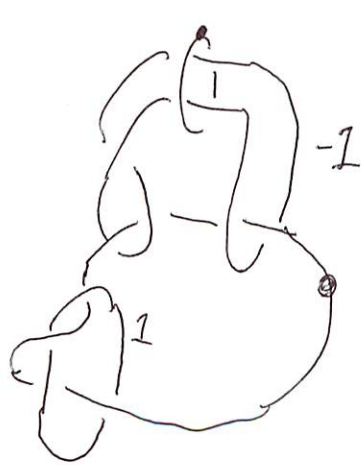
isotopy



blow up



F-G₂

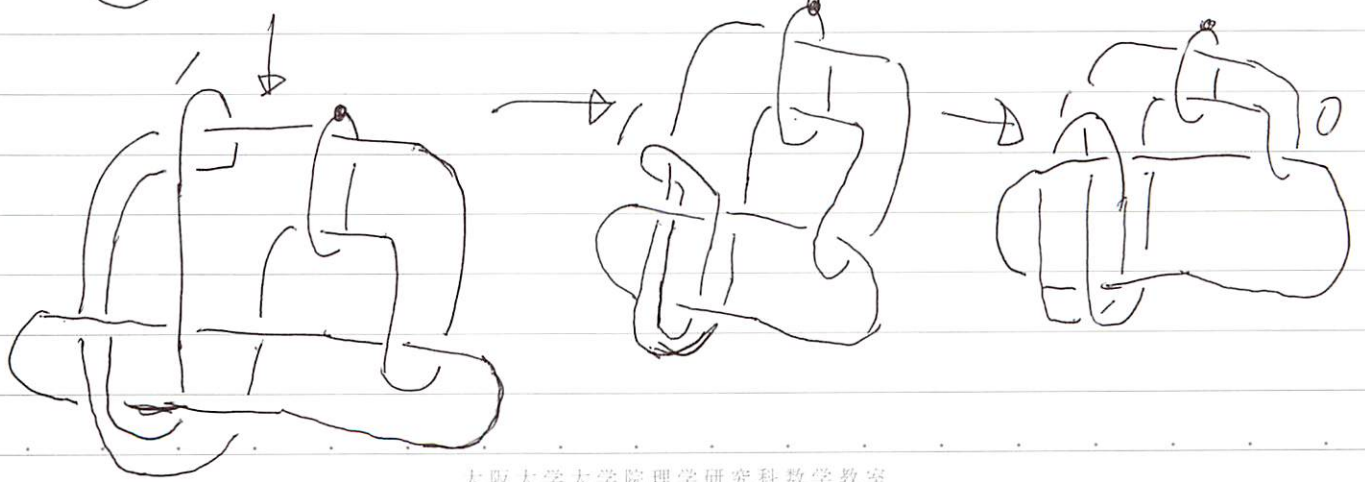
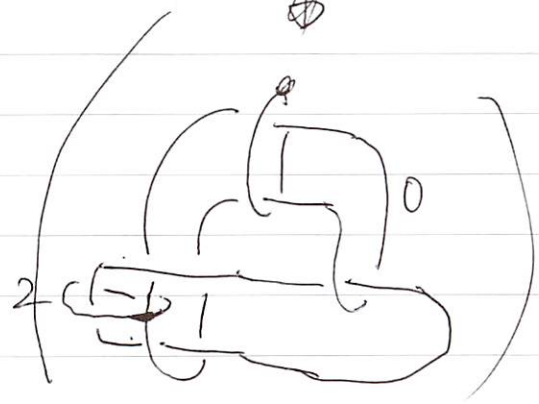
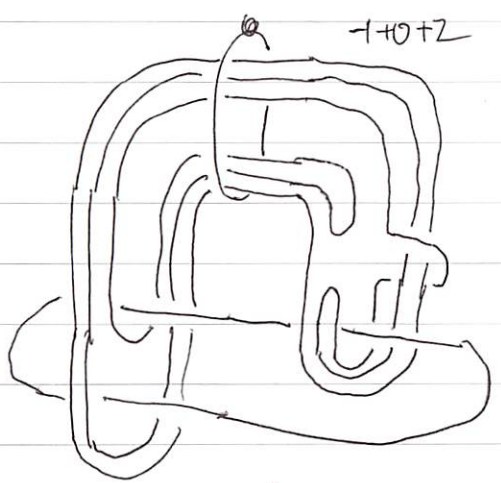
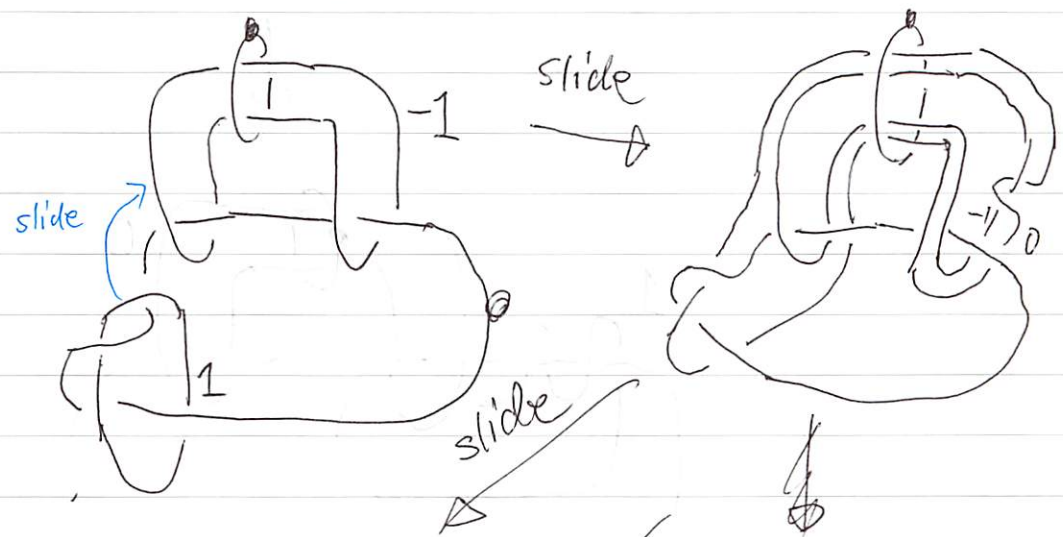
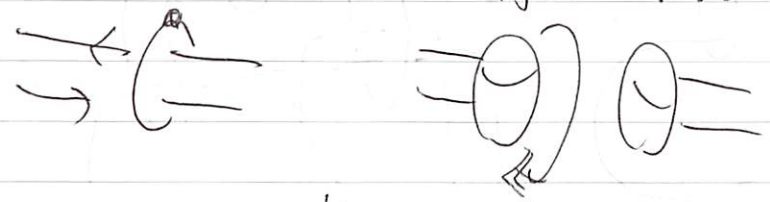


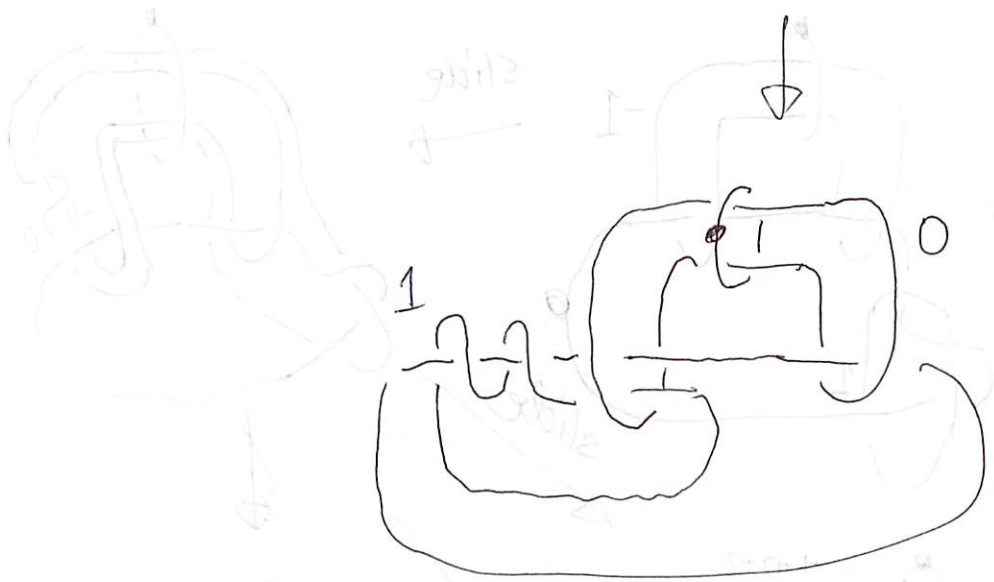
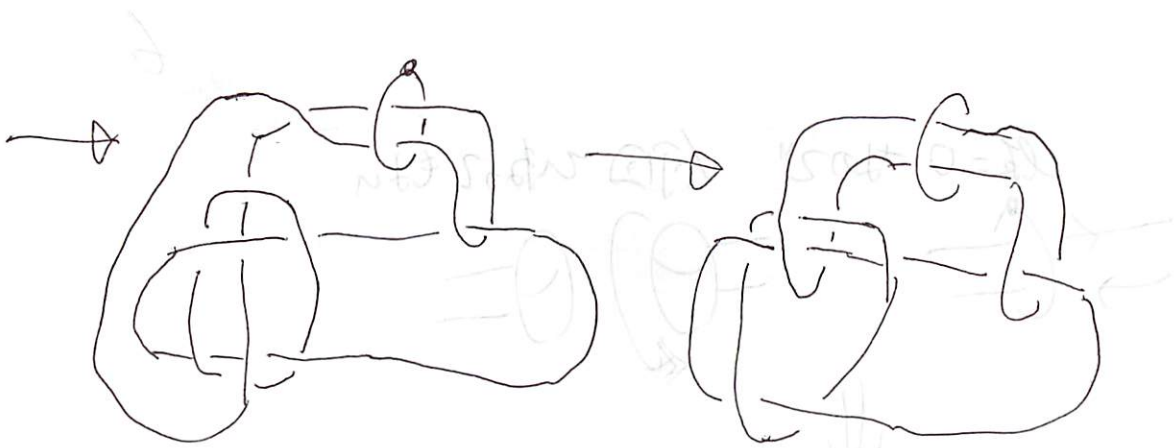
slide

cut and paste



$lk=0$ 時の 2^m 何回ひねってもよい





2013/5/1

No. 7 = 11

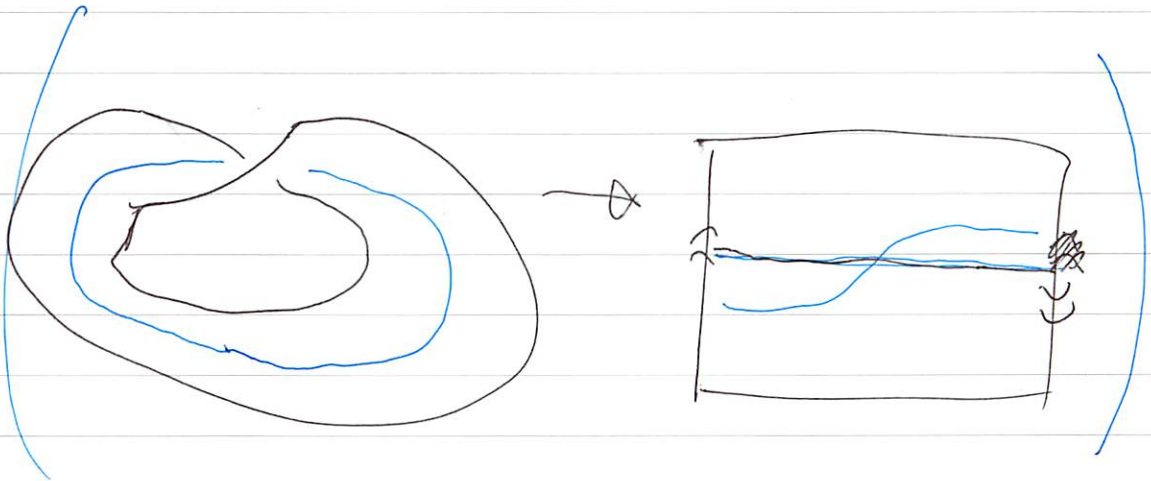
結び目手術

self. intersection = 0

normal

$$T^2 \times D^2 \subset X$$

$$[X - (T^2 \times D^2)] \cup [S^3 \setminus N(K)] \times S^1$$



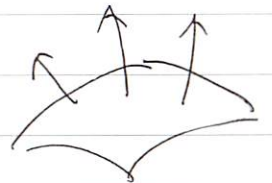
$$Y^m \subset X^n$$

$$v \in \{ \nu_p \in T_p X \mid p \in Y \} \rightarrow Y \text{ : Vect. bdl}$$

$$v \in TY \oplus N$$

$$v_1 \oplus v_2$$

$\forall p \in Y, \alpha_p \neq 0$ ^{バネル端} $\alpha \in \mathbb{N}$ 好む α だけとす



$$N \cong N' \oplus \mathbb{R}$$

$$v_2 \mapsto (v_2', k)$$

$$v_2' + k \alpha_p$$

シルト-の特性数に合わせる

(7) I

$n=4, m=2$ とする Y : orientable とする

$N = N' \oplus \mathbb{R}$, $\dim N' = 1$

$w_1(N) = 0$

$w_1(N') = 0$

$N = \mathbb{R} \oplus \mathbb{R}$ ~~****~~

$= \mathbb{F} \times \mathbb{R}^2$

非可縮

$X \supset \mathbb{R}^2$

$2 \times [(\mathbb{R}^2 / \mathbb{Z}^2) \cup [(\mathbb{R}^2) - X]]$



$Y \subset X$

$Y \leftarrow \{ Y \supset \mathbb{R}^2 \mid X \supset \mathbb{R}^2 \} \rightarrow \mathbb{R}^2$

$N \oplus Y \rightarrow \mathbb{R}^2$

$N \oplus \mathbb{R}$



$N \oplus \mathbb{R} \rightarrow \mathbb{R}^2$

$N \oplus \mathbb{R} \rightarrow \mathbb{R}^2$

$(N, \mathbb{R}) \rightarrow \mathbb{R}^2$

...

...

$\varphi: \mathbb{R}N(K) \times S^1 \rightarrow T^2 \times \mathbb{R}D^2$: diffeo

2013/5/1

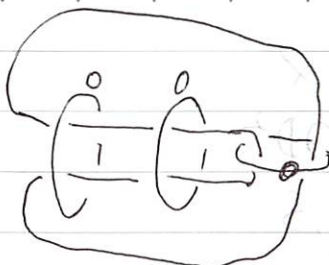
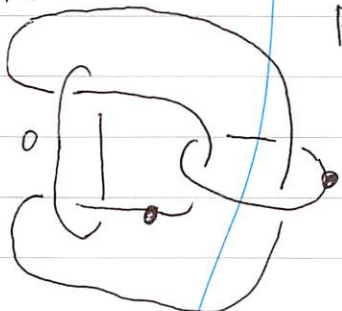
を消すのに \hookrightarrow slide をつかう.

No. 8

と \hookrightarrow slide

2,3-cancelling pair つけろ

$T^2 \times D^2$



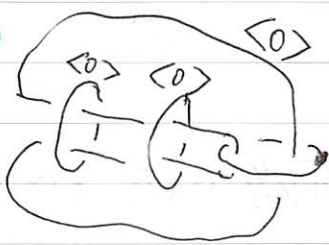
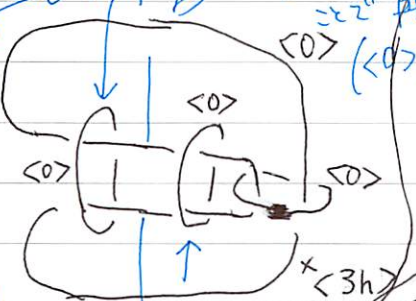
+3h

$T^2 \times D^2$ を除く。

ついで dot を 0 にして
かきこえる。

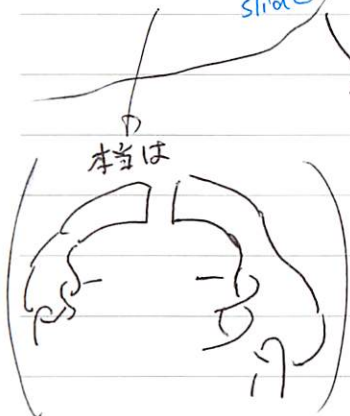
境界の diffeo を戻す
これに再接着を表す
(0) <0> (0) を 0 に戻す

これは
2個の dot
を消す
K: trefoil の
境界は
これです。



+ (3h)

0 は \rightarrow 0 に
0 は \rightarrow 0 に直す。

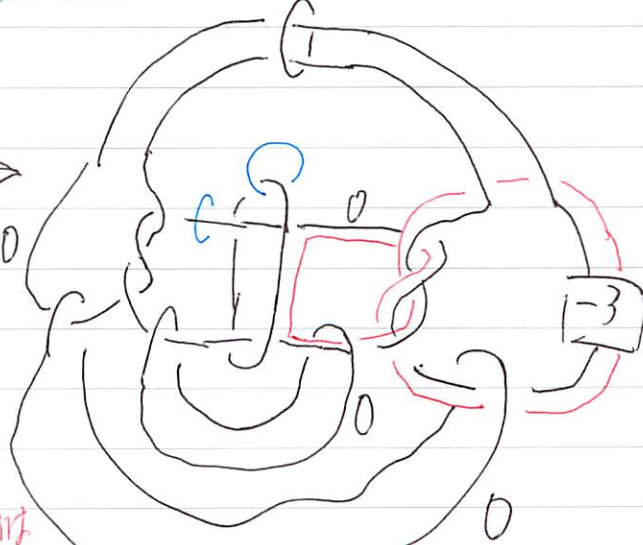
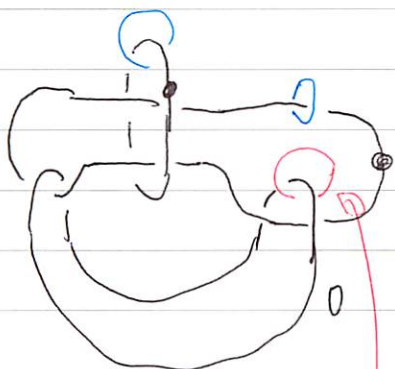


本当は

この境界は \hookrightarrow slide をつかう。
境界 \hookrightarrow (0) \hookrightarrow (0) \hookrightarrow (0) を 0 に戻す
この絵を知らなければいけない

$[S^3 \setminus N(K)] \times S^1$

結局



exotic を
いっしょに
つけろ。

これは右図に引ける

上図を
T とすれば引ける。

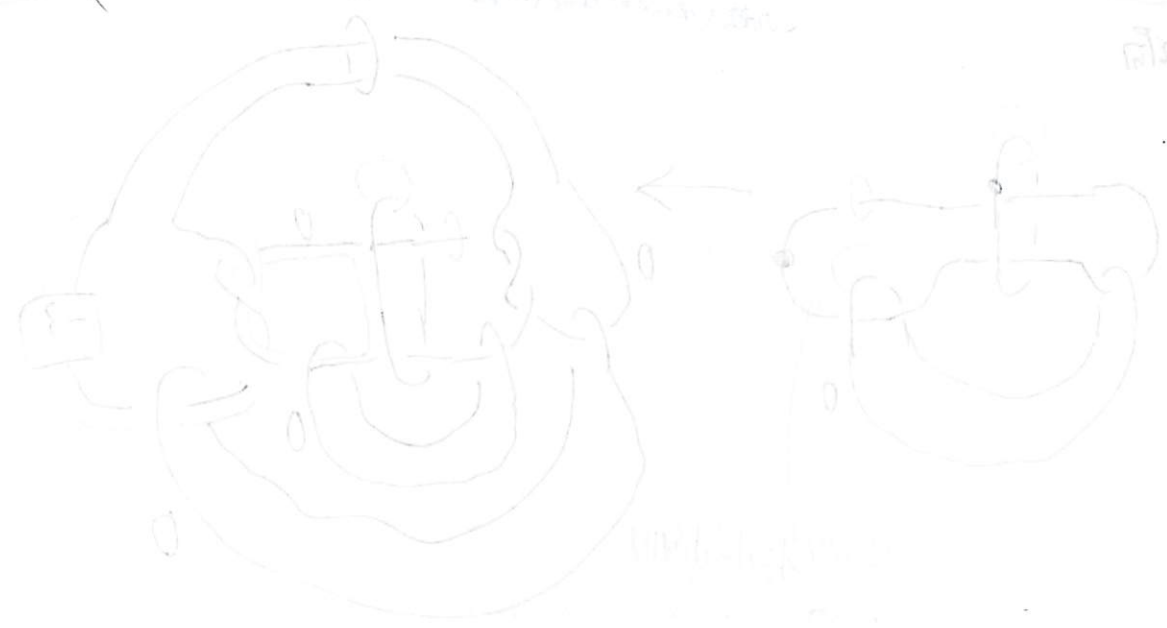
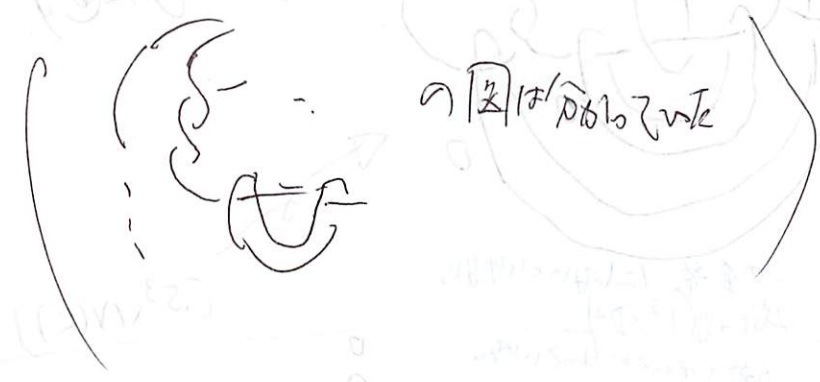
$$(S^3 \setminus N(K)) \times S^1$$

$\varphi:$
 $M \rightarrow \alpha$
 $D \rightarrow \partial D^2$
 $S^1 \rightarrow \beta$

$$[\alpha], [\beta] \in H_1(T^2)$$

gen.

φ を明確にした ということ
 赤と青の位置が α と β にあたること
 した ということ



exotic

2013/5/1

No. 9

exotic
 $E(n)_k \not\cong E(n)$

$$SW_{E(n)_k} = SW_{E(n)} \Delta_k$$

Δ_k - 多項式

(knotの補空間の Seifert surface の
 無限巡回被覆の H_1 (→-ストリート))

$$E(n)_{p,q} \not\cong E(n)$$

$$SW : \text{Char}(V) \rightarrow \mathbb{Z}$$

$$V = \mathbb{H}_2(X) / \text{Tor}$$

$$\text{Char}(V) = \{ u \in V \mid ux = xau(2) \}$$

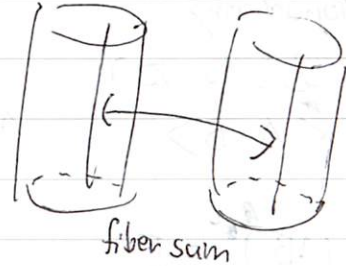
$w = w_2$

$$\left\{ \begin{array}{l} E(n) \rightarrow \mathbb{C}P^1 : LF \\ \text{sing. fib } \approx 12n \text{ 本} \end{array} \right.$$

一意に定まる

$$E(n) = E(n+1) \# E(1)$$

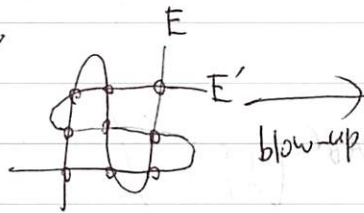
\uparrow^F
 fiber sum



$$\mathbb{C}P^2 \supset E$$

$$\{ [x, y, z] \mid x^2z = x^3 - xz^2 \} \cong T^2$$

$$E \cap E'$$



blow-up

$$\mathbb{C}P^2 \# 9\overline{\mathbb{C}P^2} = E(1)$$

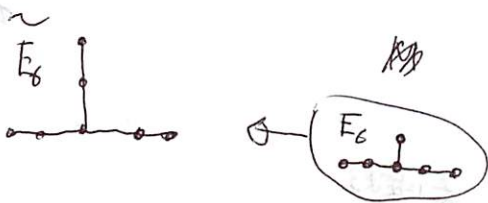
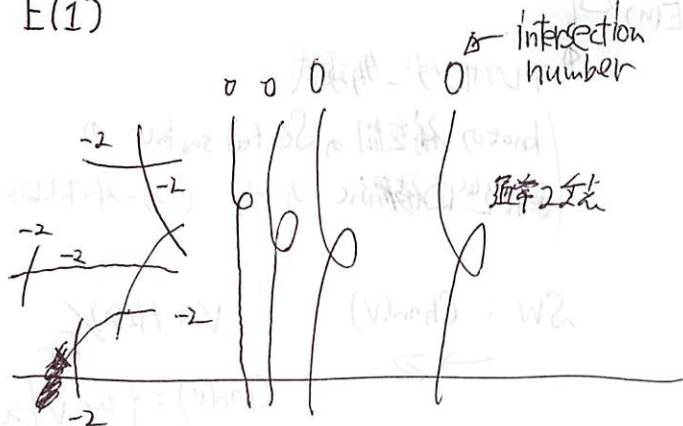


\downarrow
 $\mathbb{C}P^1$

J. Park

$\mathbb{C}P^2 \#^n \overline{\mathbb{C}P^2}$ と homeo なの

$E(1)$



Monodromy

$SL(2, \mathbb{Z})$
 $\langle A, B \rangle$

$A = \begin{pmatrix} 1 & 1 \\ 0 & 1 \end{pmatrix}, B = \begin{pmatrix} 0 & -1 \\ 1 & 0 \end{pmatrix}$

$(AB)^6 = E$

1回目の生成元2回だけ
 2回目に+Xした
 足してあげ

$AA^{-1} = E$

$B^{-1}B = E$

許さず!!

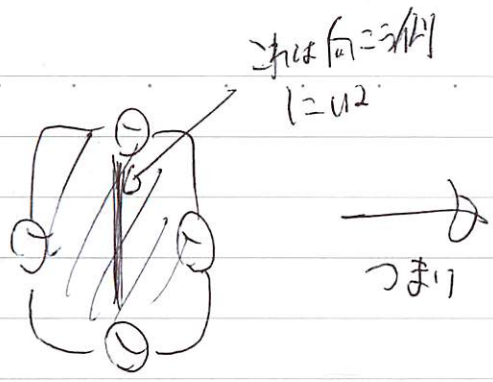
A, B 互いに

関係式が揃って
 LFがわかる

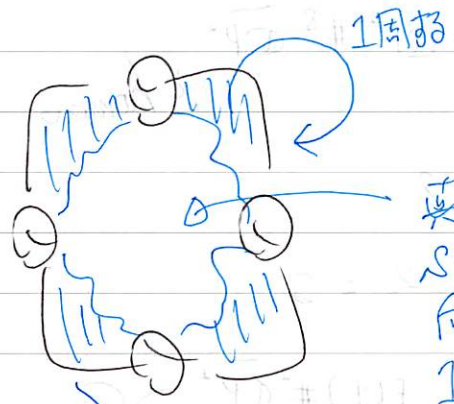
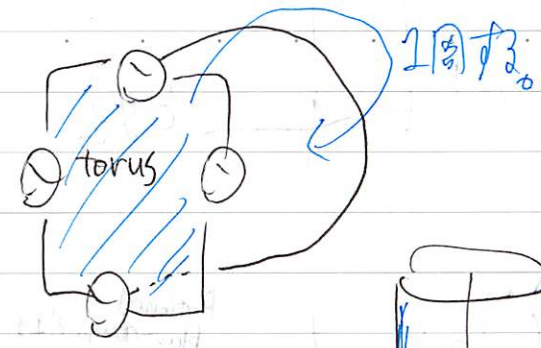
(\odot)

$$\left(\begin{array}{l} AB = \begin{pmatrix} 1 & 1 \\ 0 & 1 \end{pmatrix} \\ AB^2 = \begin{pmatrix} 0 & -1 \\ 1 & -1 \end{pmatrix} \\ AB^3 = \begin{pmatrix} -1 & 0 \\ 0 & -1 \end{pmatrix} \\ AB^6 = \begin{pmatrix} 1 & 0 \\ 0 & 1 \end{pmatrix} \end{array} \right)$$

$(AB)^{6n} = E \iff E(n) \text{ 1-対して}$



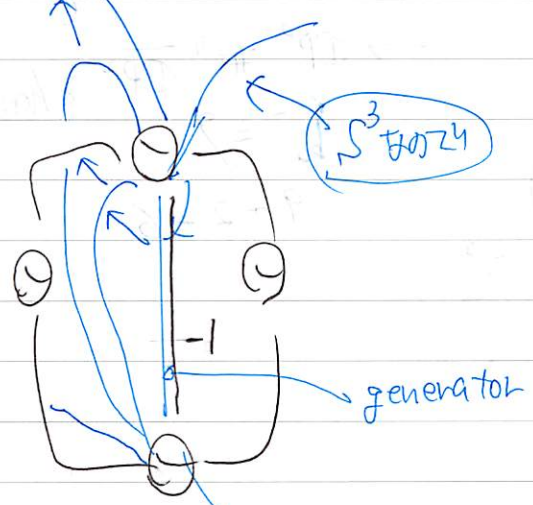
つまじ



真ん中の
 S^3 軸の
向 = 逆時計
1周して戻ってくる

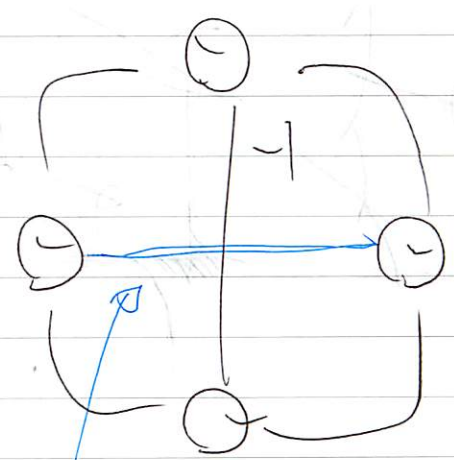
$A = \begin{pmatrix} 1 & 1 \\ 0 & 1 \end{pmatrix}$

↑
この
文脈

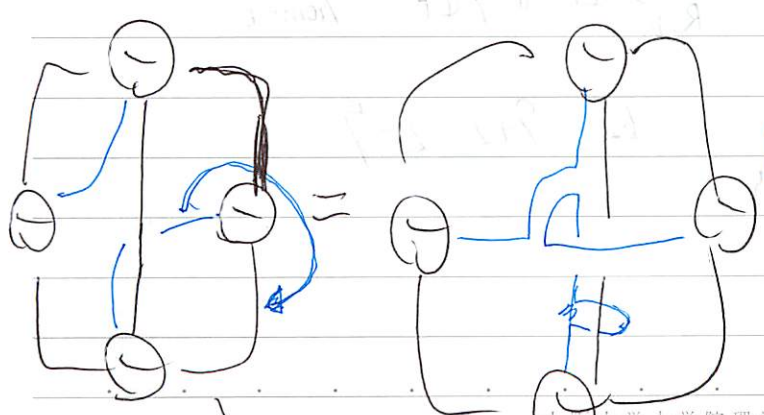


S^3 軸の

Dehn twist は
向 = 逆時計

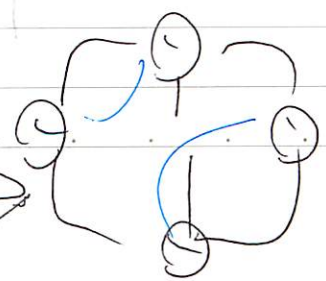


この generator は $\begin{pmatrix} 1 & 1 \\ 0 & 1 \end{pmatrix}$ だよ
1周して戻ってくる
← 逆時計 1周して戻ってくる
軸の slide する



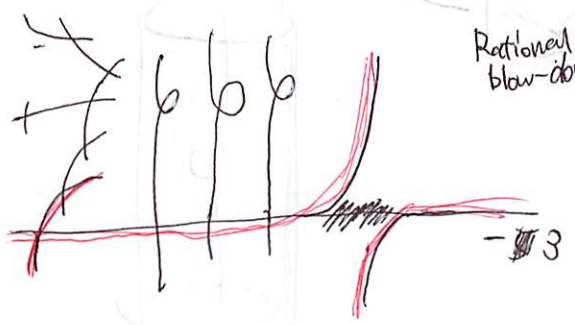
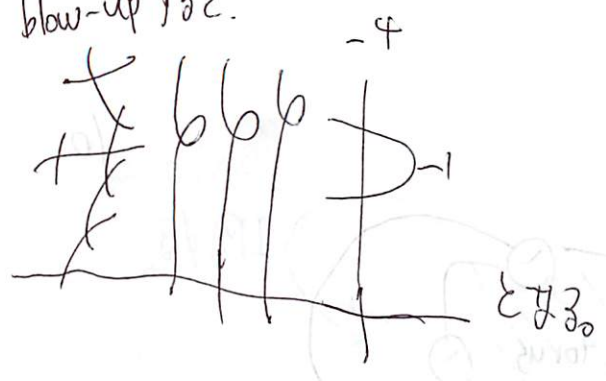
$A = \begin{pmatrix} 1 & 1 \\ 0 & 1 \end{pmatrix}$

↑
この
文脈



← 逆時計 1周する

1回 blow-up する.



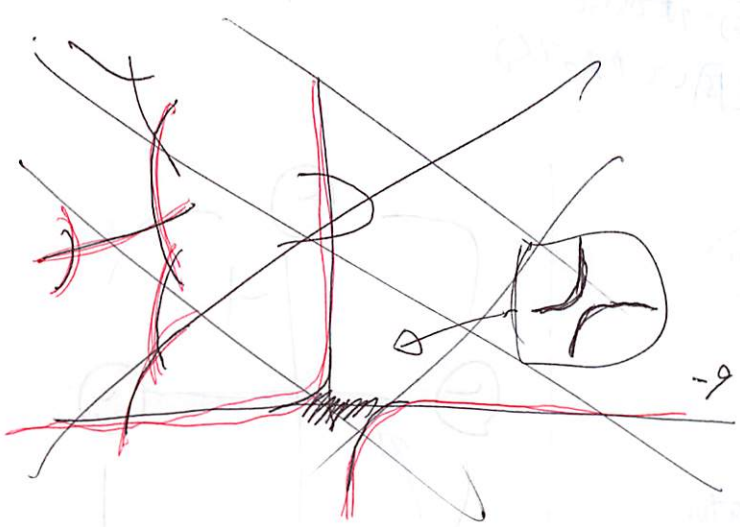
Rational
blow-down $\mathbb{Z} \pm 3$

$$E(1) \# \overline{\mathbb{C}P^2} \supset \mathbb{C}^3$$

$$\rightarrow \mathbb{C}P^2 \#^8 \overline{\mathbb{C}P^2} \cong \text{homeo}$$

$$b_2^- = 9$$

$$9 + 1 - 2 = 8$$

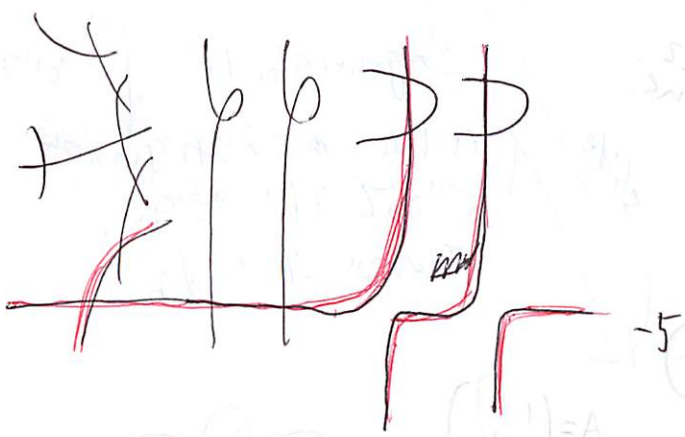


$$E(1) \#^2 \overline{\mathbb{C}P^2} \supset \mathbb{C}^3$$

$$\rightarrow \mathbb{C}P^2 \#^7 \overline{\mathbb{C}P^2} \cong \text{homeo}$$

$$b_2^- = 9$$

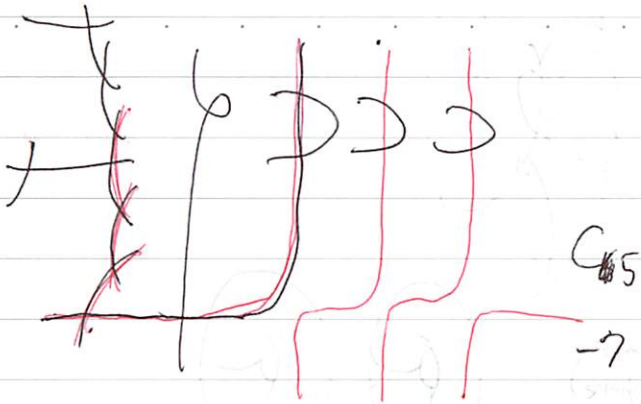
$$9 + 2 - 6 = 5$$



$$E(1) \#^2 \overline{\mathbb{C}P^2} \supset \mathbb{C}^3$$

$$\xrightarrow{\text{R.b.}} \mathbb{C}P^2 \#^9 \overline{\mathbb{C}P^2} : \text{homeo}$$

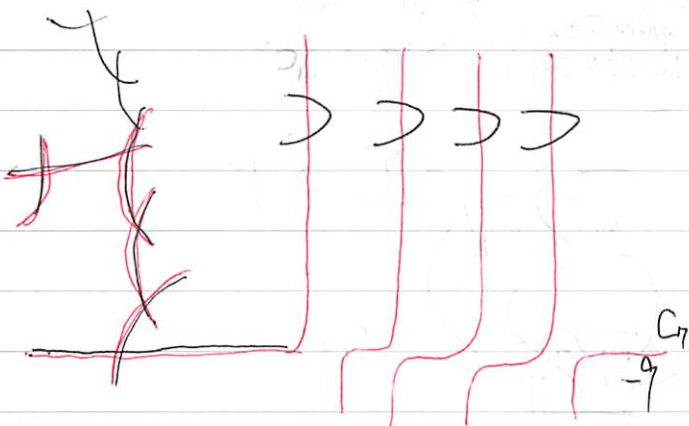
$$b_2^- = 9 + 2 - 2 = 9$$



$$E(1) \#^3 \mathbb{C}P^2 \supset C_{\#5}$$

$$b_2^- = 9 + 3 - \frac{3}{4} = 8$$

$$\xrightarrow{\text{R.b.}} \mathbb{C}P^2 \# 8 \overline{\mathbb{C}P^2} \cong \text{homeo}$$



$$E(1) \#^4 \overline{\mathbb{C}P^2} \supset C_7$$

$$\xrightarrow{\text{R.b.}} \mathbb{C}P^2 \#^7 \overline{\mathbb{C}P^2} \cong \text{homeo}$$

$$b_2^- = 9 + 4 - 6 = 7$$

blow up
Lefschetz



handle decom. Lefschetz
いかにして、自己同型か?

Persson, Configurations of Kodaira fibers on rational elliptic surfaces.

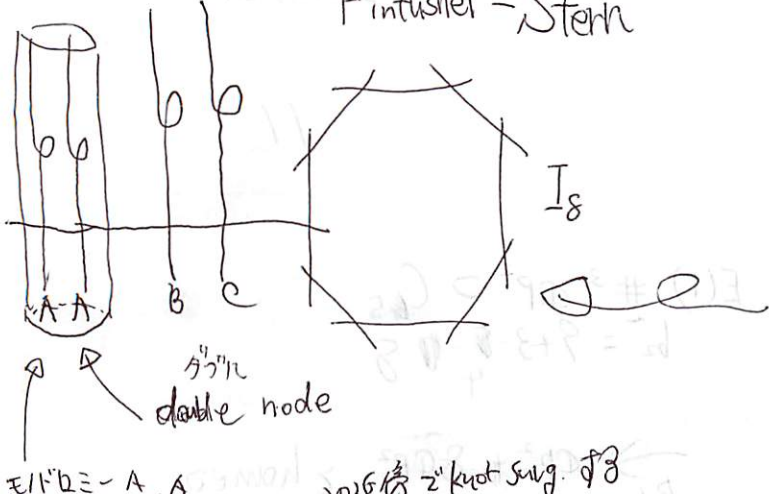
Math 2 265 (1990)

→
まだ 未見である。

安井先生も
このあたりから
研究を始めるのでは?

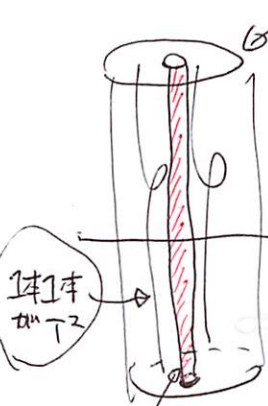
Fintuskel - Stern

PI configuration $\rightarrow +1, 2, 1, 3$



$\epsilon \in \mathbb{R}^3 - A, A$

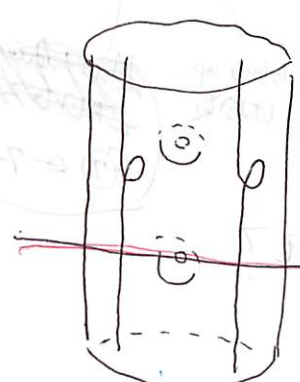
この図は z knot surg. の図



1本1本 T^2

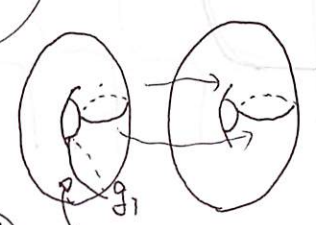
K : twist knot

Knot surgery \rightarrow



この図は sphere

この図は sphere 同様に 1 本 z 交わ, 2 本 z



$\varphi(m) = g_1 g_2^{-2}$

$\Sigma \supset P$

$\times S^1$

$lk_2(P, P) = 1$

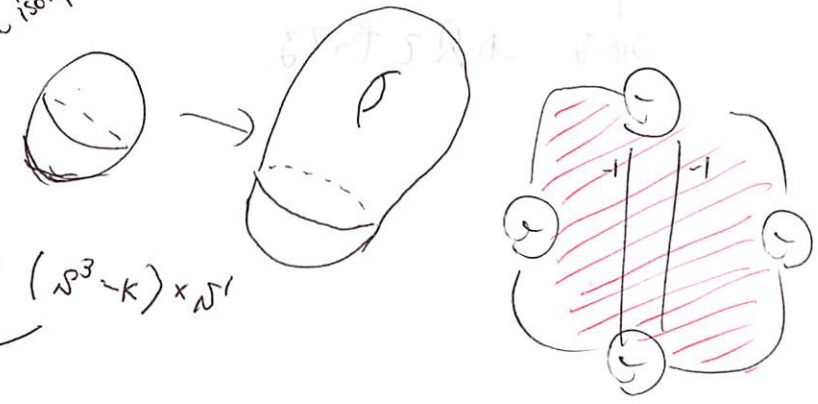
Knot surg. Lk

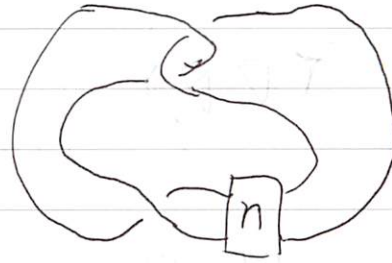
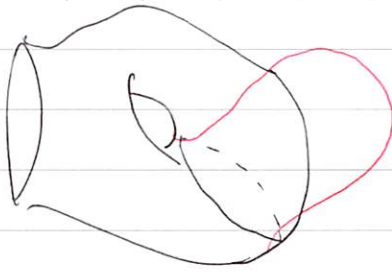
$E(1) \rightarrow \mathbb{C}P^1$

(水戸に掛けるのが Section)
(\mathbb{R}^3 に掛ける sphere)

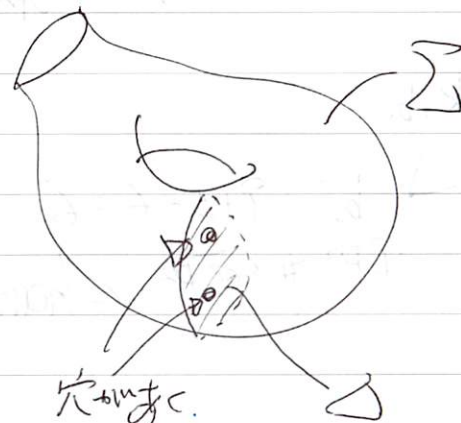
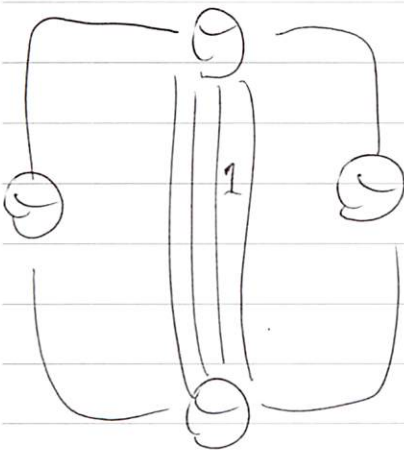
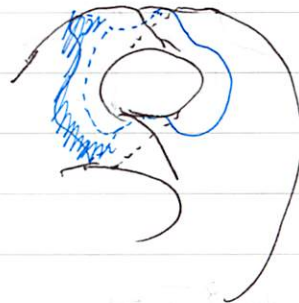
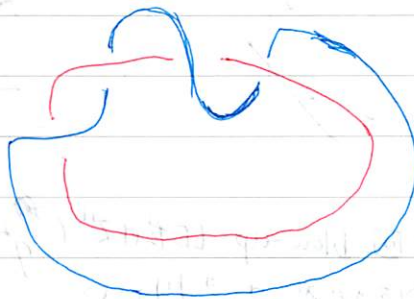
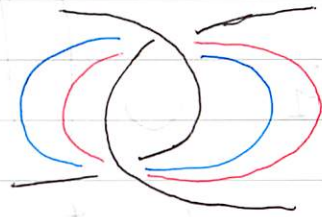
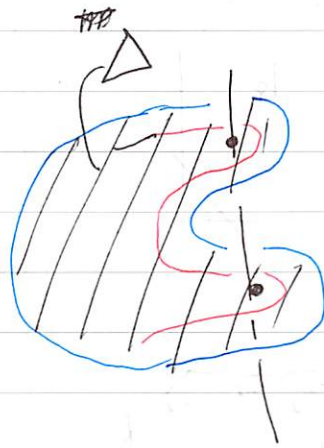
$\varphi(m) =$ vanishing cycle \sim isotopic meridian Σ の z

$X_K = [X - (T^2 \times D^2)] \cup_{\varphi} (\mathbb{R}P^3 - K) \times S^1$





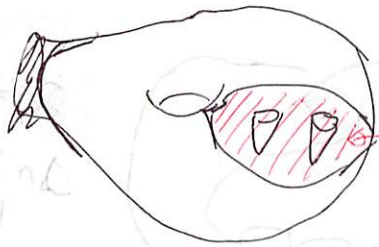
$2\Delta = T$
 $\Delta n = 2pt.$
 K_n



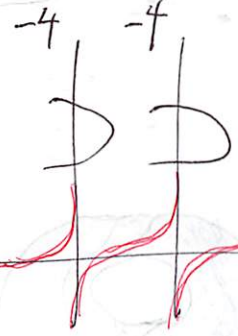
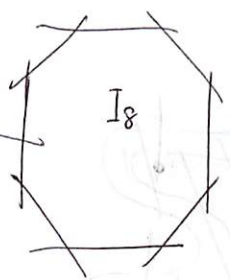
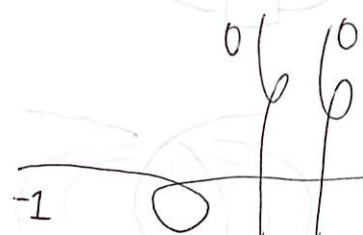
穴の中心
 meridian = vanishing cycle

1/2/02

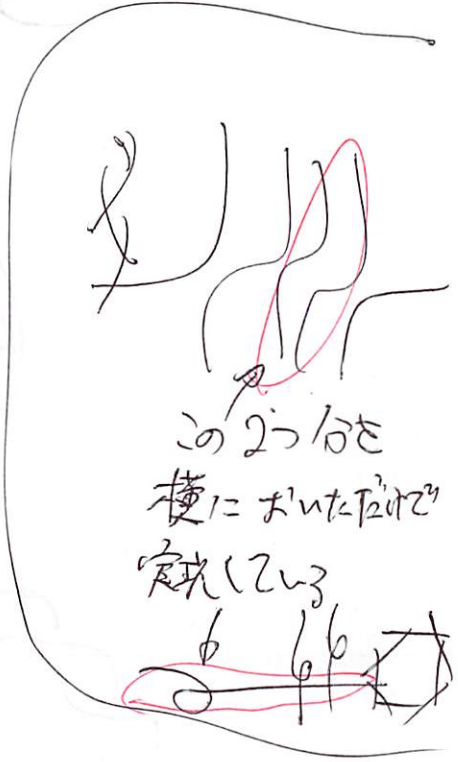
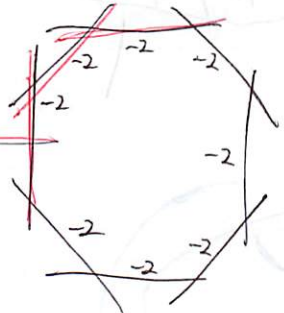
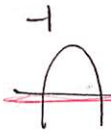
$$1-1-1 = -1$$



vanishing cycle



-5



この2つを
横に貼ると
定数になる

$$E(1)_{K_n} \#^3 \overline{\mathbb{C}P^2} \supset \mathbb{C}P^1$$

3回 blow-up して「 $\mathbb{C}P^1$ 」
を貼ると「 $\mathbb{C}P^2$ 」になる。
4回 blow-up



R.b.

$$b_2^- = 9 + 3 - 6 = 6$$

$\mathbb{C}P^2 \#^6 \overline{\mathbb{C}P^2} \simeq \text{homeo.}$

11における。
各 $\mathbb{C}P^2$ 1個づつ。
differs $\mathbb{C}P^2$ 1つ